

## О СОКРАЩЕНИИ ВРЕМЕНИ УСКОРЕНИЯ ЭЛЕКТРОНОВ В СИНХРОТРОНЕ НА 1500 Мэв

В. В. ИВАШИН, Г. П. ФОМЕНКО

В электронных циклических ускорителях при больших энергиях ускоряемых электронов основная часть мощности ускоряющей системы затрачивается на покрытие радиационных потерь. Квантовый характер излучения приводит к раскачке фазовых и бетатронных колебаний и потерям части ускоряемых электронов. Для уменьшения потерь электронов и мощности ускоряющей системы можно увеличить скорость роста магнитного поля в конце цикла ускорения. В настоящей работе рассмотрен один из вариантов увеличения скорости нарастания магнитного поля в конце цикла в ускорителе «Сириус» на 1,5 Гэв, и вычисляется потеря электронов из-за возбуждения фазовых колебаний квантовыми флюктуациями излучения.

### Схема возбуждения управляющего поля ускорителя с сокращенным временем ускорения

Магнитное поле электромагнита ускорителя «Сириус» на 1,5 Гэв создается путем разряда через коммутирующие приборы (тиратроны ТР1-85/15) мощной конденсаторной батареи  $C_1$  на обмотку возбуждения электромагнита  $L_1$  [1]. При этом магнитное поле имеет во времени форму синусоидальной кривой, а ускорение до 1,5 Гэв должно происходить за время  $37,3 \cdot 10^{-3}$  сек, что соответствует углу  $80^\circ$  кривой поля возбуждения электромагнита. Расчеты показывают, что за последние 0,3 времени ускорения энергия электронов возрастает только на 16 %. За эту же часть времени ускорения интенсивность пучка ускоренных частиц уменьшается на 80 % при конечном значении ускоряющего поля 180 кв.

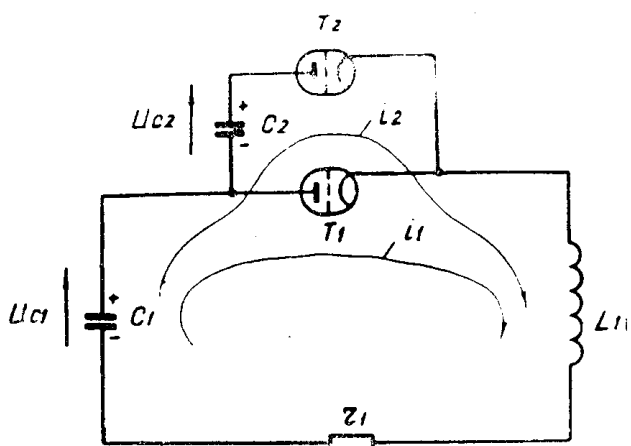


Рис. 1

На рис. 1 приведена схема, позволяющая существенно уменьшить время ускорения при высоких энергиях электронов.

Основная накопительная емкость  $C_1$  разряжается на электромагнит  $L_1$  через тиатротоны  $T_1$ . Для тока и напряжения в цепи можно записать:

$$i_1 = -\frac{U_{C1} e^{-bt}}{\omega L_1} \cdot \sin \omega t, \quad (1)$$

$$u_{C1} = \frac{U_{C1} \cdot e^{-bt}}{\omega \sqrt{L_1 C_1}} \sin (\omega t + \psi_0), \quad (2)$$

где  $\omega$  — угловая частота контура  $C_1 L_1$  с учетом затухания,

$$\psi_0 = \arctg \frac{\omega}{b}, \quad b = \frac{r}{2L_1}.$$

При угле  $\approx 60^\circ$  открывается от схемы управления тиатротон  $T_2$ , и ток быстро, под действием напряжения  $u_{C2}$ , перехватывается из  $T_1$  в  $T_2$ . Введение в контур  $L_1 C_1$  предварительно заряженной емкости  $C_2$ , напряжение которой согласно по направлению с напряжением  $U_{C1}^*$ , увеличивает скорость роста тока (и поля) в электромагните  $L_1$ .

Ток в индуктивности  $L_1$  после введения в контур емкости  $C_2$  описывается уравнением

$$i_1 = I_k e^{-bt} \left( \cos \omega_2 t - \frac{b}{\omega_2} \sin \omega_2 t \right) - \frac{U_{C1} + U_{C2}}{\omega_2 L_1} e^{-bt} \sin \omega_2 t, \quad (3)$$

где

$I_k$ ,  $U_{C1}^*$ ,  $U_{C2}$  — ток в цепи и напряжения на емкостях  $C_1$  и  $C_2$  в конце перевода тока из вентиля  $T_1$  в  $T_2$ .

Учитывая, что затухание мало влияет на ток  $i_1$ , поскольку добротность систем питания ускорителей сравнительно высока, можно положить  $b = 0$  и несколько упростить выражение для тока:

$$i_1 = I_k \cos \omega_2 t - \frac{U_{C1} + U_{C2}}{\omega_2 L_1} \sin \omega_2 t, \quad (4)$$

где

$$\omega_2 \approx \sqrt{\frac{C_1 + C_2}{C_1 C_2 L_1}} \text{ — угловая частота колебаний образовавшегося контура } L_1 C_1 C_2.$$

После изменения знака напряжения на емкости  $C_2$  или даже при ее перезаряде до величины напряжения  $-U_{C2}$  тиатротон  $T_1$  вновь может быть открыт и перехватить ток вентиля  $T_2$ . Таким образом, после ускорения частиц контур  $L_1 C_1$  вновь восстанавливается, и энергия из электромагнита на спадающей части синусоидальной кривой тока переходит в накопительную емкость  $C_1$ . Следует заметить, что если вентиль  $T_1$  открывается при изменении знака напряжения на емкости  $C_2$ , когда абсолютная величина напряжения невелика, в электромагнит оказывается дополнительно введенной энергией  $\frac{1}{2} C_2 U_{C2}^2$ .

Расчеты по формулам (1) и (4) показывают, что при вполне приемлемой величине конденсаторной батареи  $C_2$ , составляющей примерно 0,1 от величины основной батареи  $C_1$ , достигнуть номинальной энергии в 1500 Мэв можно не при угле в  $80^\circ$ , а при угле  $70^\circ$  частоты  $\omega$ . Время ускорения сокращается при этом на  $5 \cdot 10^{-3}$  сек, а введение в контур емкости  $C_2$  необходимо делать при угле  $60^\circ$ .

Время ускорения, соответствующее углам  $60 \div 80^\circ$ , когда происходят основные потери электронов, таким образом, сокращается примерно в два раза.

На рис. 2 приведены кривые тока возбуждения электромагнита, которые можно построить по формулам (1) и (4).

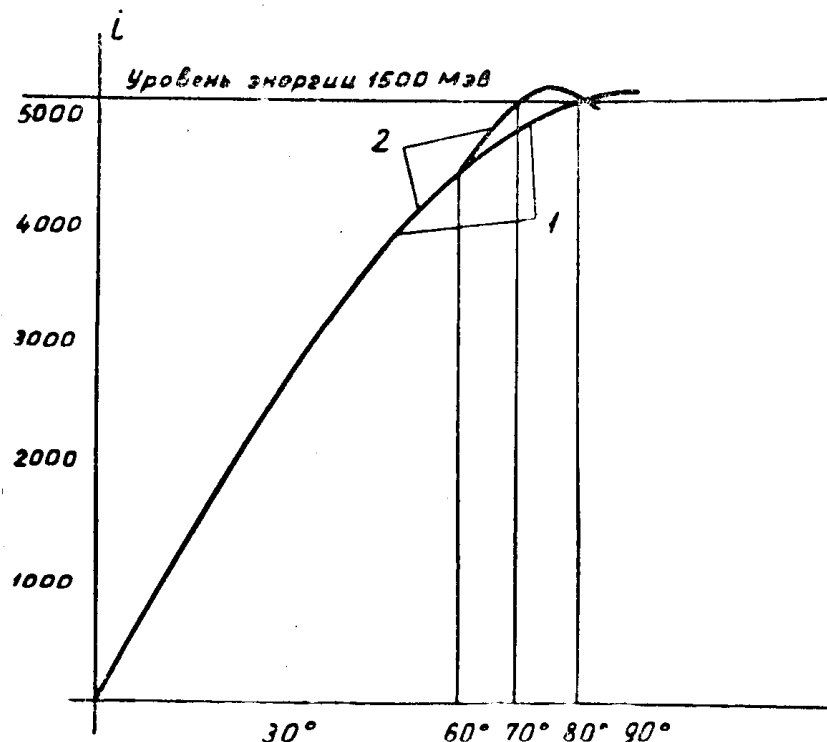


Рис. 2.

Кривая 1 соответствует изменению тока возбуждения электромагнита без увеличения скорости роста поля, а кривая 2 — с увеличением скорости роста поля в области углов  $60 \div 70^\circ$  частоты  $\omega$ . Расчет доли потерянных частиц производился по формуле Крамерса [2]. При расчете среднеквадратичной амплитуды фазовых колебаний, возбуждаемых квантовыми флуктуациями излучения, предполагалось, что амплитуда ускоряющего напряжения изменяется в течение цикла по закону, изображенному на рис. 3.

Скачок скорости роста амплитуды высокочастотного поля происходит в момент изменения скорости роста магнитного поля. В первой половине цикла ускоряющее напряжение будет изменяться не так, как изображено на рис. 3, но так как в это время квантовые флуктуации излучения не влияют на потери электронов, то действительная доля потерянных электронов незначительно будет отличаться от вычисленной.

На рис. 4 показано изменение количества частиц по циклу ускорения в относительных единицах для конечных значений амплитуды ускоряющего напряжения 220 кв (кривые 1) и 180 кв (кривые 2) при уменьшенном (пунктирные кривые) и полном времени ускорения. Зависимость доли оставшихся в камере частиц к концу ускорения от величины амплитуды высокочастотного поля показана на рис. 5. Кривая 1 показывает зависимость доли оставшихся в камере частиц при полном времени ускорения, а кривая 2 — при уменьшенном времени ускорения.

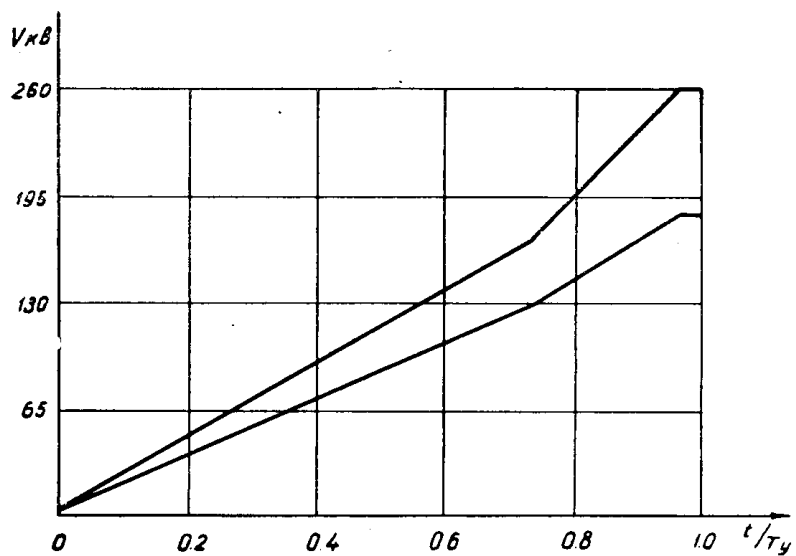


Рис. 3

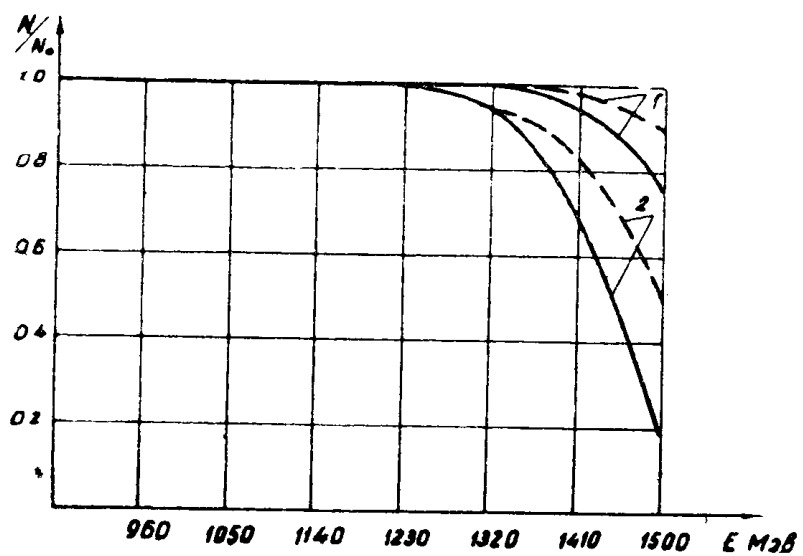


Рис. 4

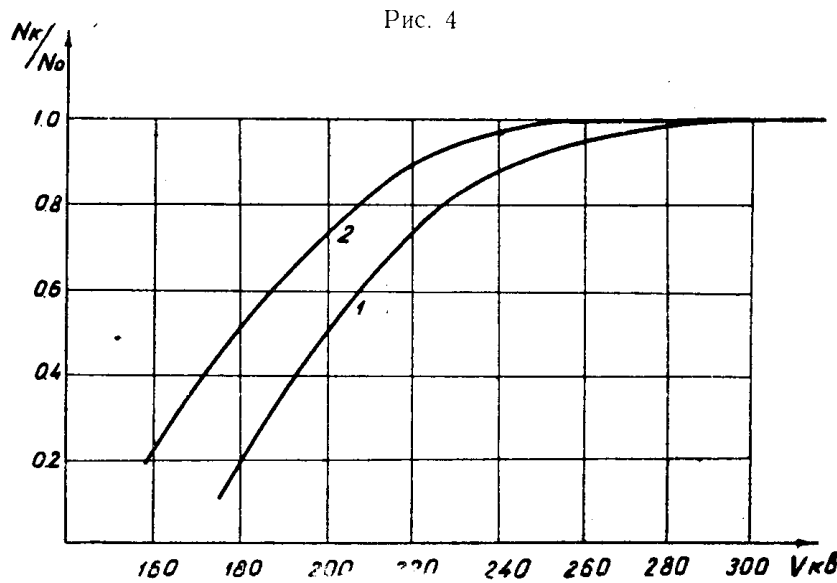


Рис. 5

Из рис. 5 следует, что при конечном ускоряющем напряжении 180 кв уменьшение времени ускорения позволит достичнуть конечной энергии 50% частиц от общего числа ускоряемых частиц. Без уменьшения времени ускорения эту возможность имеют только 20% частиц.

При напряжении 220 кв соответственно будет ускорено 90% частиц вместо 75%.

Таким образом, уменьшение времени ускорения на  $5 \cdot 10^{-3}$  сек за счет конечной части дает возможность или уменьшить ускоряющее напряжение без уменьшения числа ускоренных частиц, или при прежнем напряжении существенно увеличить число ускоренных частиц.

#### ЛИТЕРАТУРА

1. В. М. Кузнецов. Возбуждение электромагнита синхротрона с энергией ускоренных электронов 1500 Мэв. Диссертация, г. Томск, НИИ ЯФ, 1963.
  2. Н. А. Крамерс. Physica 7, 285 (1940).
-